

○ 川崎製鉄(株) 正員 高橋千代九  
川崎製鉄(株) 正員 川井豊

**1 緒言** 鋼板の板厚方向(区方向)の機械的性質、特に延性は圧延方向(L方向)に比較して一般に著しく劣ると云われている。このため長大船の特殊なディテールや荷役装置等の海洋構造物の一部においては区方向强度の大きい端部部分に対する鋼板表面と平行に発生するラメラティアを防止する目的で区方向特性に優れた鋼板の要求が強くなっている。ラメラティアの特徴は端部時にあたる板厚方向の収縮による介在物とマトリックスの剥離、あるいは水素割れを起きたて介在物を連ねて伝播する割れであることが明らかにになっており<sup>1)</sup>、その発生傾向は溶接条件、拘束度に依存することは明瞭のこと。鋼材品質が鋼素から介在物の形状、分布との相関性が強い区方向延性、特に区方向引張試験での続り值に支配される。そこでこの区方向延り値のS含有量に大きく左右されるところから汎用のSM50鋼についてはS含有量との関係で必ず区方向延性性能を調査して研究<sup>2)</sup>が多数実行されている。しかし設計上よりシビアな条件に適用される調査鋼についての報告は非常に少ない。一方、ラメラティアには非破壊検査での検出が困難なこと、いったん発生すると補修が煩雑であることなどの工学的问题が含まれているため調査鋼に対しててもラメラティア感受性との関連が深いと区方向特性に関する検討は意義あると考える。本報では標準化されて比較的便宜的な量を有する2種の専用60キロHT材(SM50Q)について疲劳実験を中心とした区方向特性の調査を行つたので以下に報告する。

**2 疲労実験** 表-1に供試鋼板の性能を示す。これらは通常の産業工程品ではあるが、A鋼のSは $S \leq 0.01\%$ 、RAは $\geq 15\%$ という通りに示されたゆく耐ラメラティア材範囲の範囲にある。対区方向試験片の製作に際しては図-1のよう試験片(38mm×60mm×1000mm)板面と直角に両側より鋼板(D鋼)を当ててMIG溶接(入熱:約25kJ/cm)して試験条件とした。

試験片は板厚方向単位強度の比較といつ鋼板から余留部削除(等断面平行部)と平滑試験片とした。疲労試験の条件は下限荷重3.6ton(2%max)の内張引張である。試験結果は図-2にS-N曲線となり表-1。

試験条件の製作時に発生した端部欠陥に由り、溶接部で破断が比較的多く、かくらバラツキの大きい結果となつたが、A,D両鋼とも耐久限度には大差なく約 $21.5\text{kg/mm}^2$ といつ値が得られた。 $1 \times 10^6$ 回以下のくり返し回数領域において予測に反し、D鋼の方がA鋼より優れているかめども回帰直線が得られたがこれは図-3のよう A鋼の端部に新たに大きな端部欠陥が偏化したものためである。このことより逆に、A鋼の母材(区)とのもののS-N曲線は図-2の回帰直線よりも少々くじき方にシフトしているものと予測される。したがって本実験におけるA,D両鋼のS-N曲線との差異は認められなかったと考える。

表-1 供試鋼板の機械的性能

Steel (Plate thickness)	JIS Design- ation	Sulphur (%)	Mechanical properties						
			Direction	$\sigma_y$ (kg/mm <sup>2</sup> )	$\sigma_s$ (kg/mm <sup>2</sup> )	EL (%)	RA (%)	$\nu E-5$ (kg.m)	
A (38mm)	SM50Q	0.005	L	52	61	30	74	28.3	
			Z	51	60	18	39	6.9	
D (38mm)	SM50Q	0.011	L	52	63	30	74	19.8	
			Z	51	63	9.4	25.5	2.2	

note) L: Longitudinal direction

Z: Through the thickness (short transverse) direction

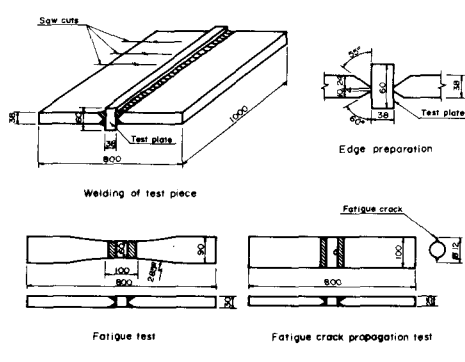


図-1 試験片の製作方法および形状寸法

区方向の疲労  
端面に固まる板  
告は極めて少く  
く耐久限度21  
kg/mm<sup>2</sup>の定量的  
評価は困難であ  
るが区向外  
力が作用する  
字盤手、K型合せ継手およびT継手の許容応力  
(鉄道標準示す書)は片引張で17.6 kg/mm<sup>2</sup>で  
あり、鋼に固まる安全率1.7を見込んでこれを  
下回ることはない。この二つからSM58Q区  
向疲労強度は形状別切欠初期の大きい端接止端部  
を有するT継手などにおける疲労強度の低下と  
同等の強度レベルにあると言える。

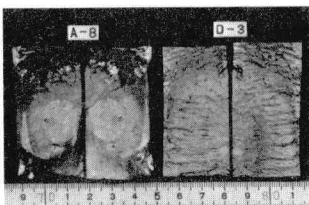


図-3 破面外観の一例

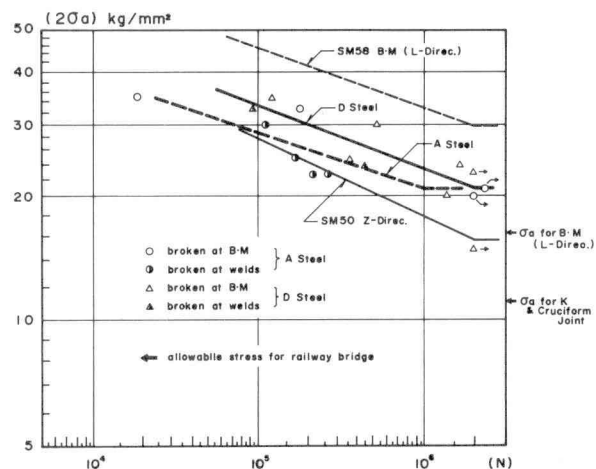


図-2 疲労試験結果

3. 疲労亜裂伝播試験  
片の切欠端上にクラックゲージを貼付(片引張の応力測定・  
法によつて疲労亜裂の伝播速度を測定し、応力拡大係数K<sub>IC</sub>  
の関係を整理して。結果を図-4に示す。応力拡大係数の範  
囲△K および結果の解析には次式を用ひた。

$$\Delta K = 2 \sigma_a \sqrt{\frac{W}{\pi a}} \tan \frac{\pi a}{W} \quad \frac{da}{dN} = C(\Delta K)^m$$

亜裂伝播速度は通常のL方向に見られるものよりバラツキ  
が大きく、また、A鋼よりD鋼の方が△Kの大きい領域で広  
い範囲に分散する傾向にある。図-5はL方向資料(動鋼  
より100 kg/mm<sup>2</sup>鋼まで)<sup>3)</sup>によるm、Cの関係に本実験の結果  
得られたm、Cをプロットしたものであるが区向外と云ふと  
も前記関係でうまく整理できることが分かる。mの値は

Ritchie らによれば平面破壊強度K<sub>IC</sub>が小さくなると  
ともに大きくなると云われているが本実験でも区向外

ヒー直角区向外D鋼の方が大きな値となつた。区向外疲労亜裂の伝播速度は高  
速等の実用時は△Kの範囲(荷重/死荷重応力=0.4, σ<sub>al</sub>=26 kg/mm<sup>2</sup>といつて  
△S=8 kg/mm<sup>2</sup>, X線検査結果、2種類の結果とし2a=1/2×38±19 mm  
より△K=44 kg/mm<sup>3/2</sup>)において斜め区向外より1オーダ程度大き  
くかつRAとの小さい方が大きい傾向にあり一概留意すべき問題と考える。

4 結言 SM58Qの区向外疲労特性に関する実験データを中心的に報  
告した。今後は△Kが、応力比が大きい場合残留応力の問題も含めて検討する  
予定である。参考文献— 1) 幸田, 溶接学会誌, Vol.17, No.1, pp6~  
pp17, 2) 例題はKobayashi et al, IIW Doc, XIII-803-76, 3) Kobaya-  
shi et al, 3rd Int. Conf. on Pressure Vessel Technology, April, 1977

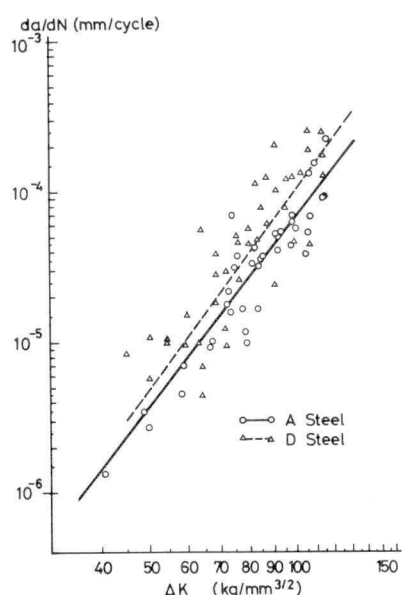


図-4 疲労亜裂伝播試験結果

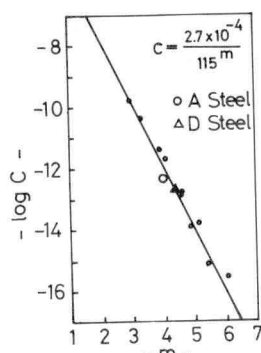


図-5 m と C の関係